

04;10;12

© 1993 г.

**ИЗМЕРЕНИЕ ЭНЕРГЕТИЧЕСКОГО СПЕКТРА  
МОЩНОГО МИКРОСЕКУНДНОГО РЭП  
В ПУЧКОВО-ПЛАЗМЕННЫХ ЭКСПЕРИМЕНТАХ  
МНОГОФОЛЬГОВЫМ АНАЛИЗАТОРОМ**

*Б.А.Князев, П.И.Мельников, А.А.Никифоров, В.В.Чикунов*

Представлены результаты измерений энергетических спектров мощного микросекундного РЭП ( $1.1 \text{ МэВ}$ ,  $70 \text{ кA}$ ,  $5 \text{ мкс}$ ,  $110 \text{ кДж}$ ) многофольговым анализатором как в вакуумном диоде, так и на выходе металлической дрейфовой камеры длиной  $1 \text{ м}$  с газом или предплазмой различной плотности, помещенной в продольное магнитное поле  $4 \text{ Тл}$ .

**Экспериментальная установка**

В течение двух последних десятилетий в Институте ядерной физики (Новосибирск) ведутся исследования нагрева плазмы релятивистскими электронными пучками (РЭП) в длинных соленоидах с целью создания на этой основе многопробочного термоядерного реактора [1].

Так, на установке У1-СПИН в рамках программы ГОЛ-3 [2,3] проводился цикл экспериментов по транспортировке РЭП длительностью  $4\text{--}5 \text{ мкс}$  с энергией до  $110 \text{ кДж}$  через метровый соленоид в газе ( $n_0 = 10^{12}\text{--}3 \cdot 10^{16} \text{ см}^{-3}$ ) и предварительно создаваемой плазме ( $n \sim 5 \cdot 10^{14} \text{ см}^{-3}$ ) [4--6]. Экспериментальная установка и используемые диагностики подробно описаны в [4--6]. Напомним, что сплошной электронный пучок с энергией частиц до  $1.1 \text{ МэВ}$  и током до  $70 \text{ кA}$  формируется в плоском вакуумном диоде в продольном поле  $0.44 \text{ Тл}$ . После прохождения через тонкую анодную фольгу он сжимается в 20 раз на длине  $25 \text{ см}$  в сходящемся поле и через разделительную фольгу инжектируется в соленоидальный пробкотрон ( $B_s = 4 \text{ Тл}$ ) с "точечными" пробками ( $B_m = 8.8 \text{ Тл}$ ). Плотность тока пучка в соленоиде достигает  $2 \text{ кA}/\text{см}^2$  при его диаметре  $6 \text{ см}$ . На выходе из пробкотрона пучок вновь расширяется до исходного размера для измерения его характеристик. Металлическая дрейфовая камера диаметром  $10.4 \text{ см}$  могла заполняться газом или предварительно созданной гелиевой плазмой. Было обнаружено три режима взаимодействия РЭП с плазмой.

1. Инжекция РЭП в нейтральный гелий "высокой" плотности ( $2 \times 10^{15}\text{--}3 \cdot 10^{16} \text{ см}^{-3}$ ). Как следует из анализа результатов, при

$n_0 \sim 10^{16}$  см<sup>-3</sup> плазма однократно ионизована и является изотермической с температурой  $T_e \sim T_i \sim 5$  эВ. При уменьшении плотности исходного газа до  $2 \cdot 10^{15}$  см<sup>-3</sup> плазма становится уже двукратно (полностью) ионизованной,  $T_e$  увеличивается до 20 эВ, а ионы остаются холодными. Нагрев плазмы в обоих случаях осуществляется обратным плазменным током.

2. При инъекции РЭП как в газ, так и в предплазму промежуточной плотности ( $n_0 = 2 \cdot 10^{14} - 2 \cdot 10^{15}$  см<sup>-3</sup>) образуется двукратно ионизованная плазма, причем при уменьшении плотности диамагнетизм плазмы сильно растет. Так, при уменьшении  $n_0$  с  $2 \cdot 10^{15}$  до  $6 \cdot 10^{14}$  см<sup>-3</sup> средняя поперечная температура  $T_{e\perp}$  возрастает с 20 до 300–400 эВ. В действительности, плазма является скорее всего (как это и должно быть при нагреве за счет пучковой неустойчивости с возбуждением ленгмюровской турбулентности [7]) двухтемпературной, причем основной вклад в диамагнетизм дает популяция электронов (~ 1%) с  $E \sim 20$  кэВ. Эти электроны уносят заметную долю энергии плазмы еще в течение импульса. Поэтому полные потери энергии пучка в плазме могут быть в несколько раз больше величины, определенной по ее диамагнетизму. В связи с этим определение эффективности передачи энергии от пучка к плазме требует дополнительных независимых измерений, в частности измерения энергетических спектров РЭП.

3. В “вакуумном” режиме ( $n_0 = 10^{12} - 10^{14}$  см<sup>-3</sup>) к концу импульса плотность плазмы превышает плотность исходного газа на 1–3 порядка и составляет  $n_e = 1 - 3 \cdot 10^{15}$  см<sup>-3</sup>. Причиной появления плазмы в камере является пристеночный пробой. Поперечная энергия  $T_{e\perp}$ , приходящаяся в среднем на один электрон, в этом случае превышает 0.5 кэВ.

Информация о взаимодействии РЭП с плазмой может быть существенно дополнена измерениями его энергетического спектра многофольговым анализатором (МФА). Этот анализатор позволяет восстановить энергетическое распределение электронов по закономерностям их поглощения в металлических фольгах. Следует отметить, что МФА без разрешения во времени применялся ранее в [8,9], а с временным разрешением впервые был применен в экспериментах с пучками 50-наносекундной длительности на установке ИНАР [10,11]. Недавно аналогичный анализатор описан в работе [12].

В работах [5,6] кратко сообщалось о результатах использования этой методики в экспериментах по транспортировке микросекундного РЭП в плазме. В настоящей работе приводится более детальный анализ результатов измерений спектров электронов на установке У1-СПИН, а также изложена методическая часть работы с МФА (см. также [13]).

## Многофольговый анализатор

Для измерения энергетического спектра электронов пучка МФА мог устанавливаться либо на выходе установки, либо для сравнения сразу за анодной фольгой диода. Коллектор пучка 3 (рис. 1) в обоих случаях располагается в магнитном поле 0.5 Тл. Полный ток пучка на коллектор  $I_b$  измеряется поясом Роговского. Центральная часть пучка проходит через отверстие диаметром 5–8 мм в коллиматоре 4 в дрейфовую камеру анализатора 5 (длина камеры 41 см), расширяется в ней в спадающем магнитном поле в 5 раз по сечению и поглощается девятью алюминиевыми

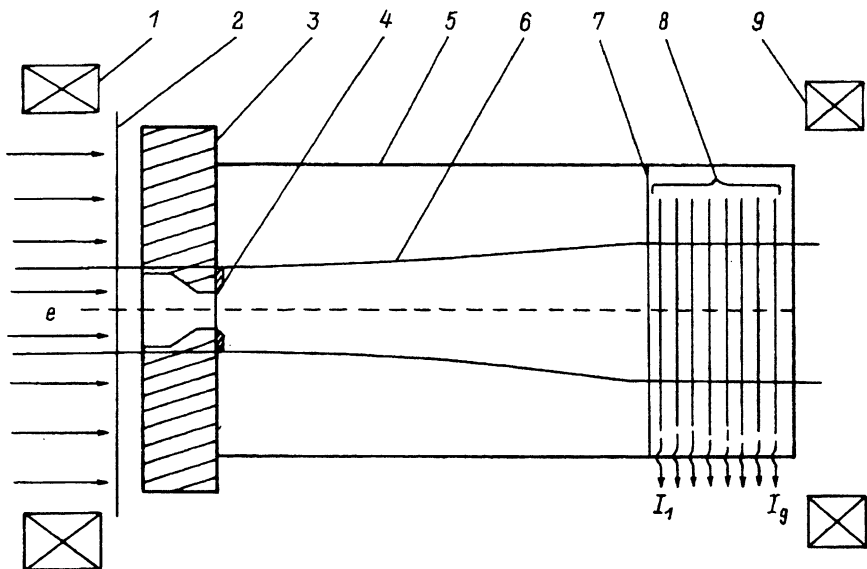


Рис. 1. Схема многофольгового анализатора.

1 — магнитная катушка установки, 2 — входная фольга анализатора (Al, толщина < 30 мкм), 3 — коллектор пучка, 4 — коллиматор, 5 — дрейфовая камера, 6 — силовые линии магнитного поля, 7 — экранирующая фольга, 8 — девять алюминиевых фольг, 9 — корректирующая катушка.

выми фольгами 8 диаметром 8 см. Расстояние между фольгами 3 мм, толщины фольг изменяются от 100 до 900 мкм [11].

Снижение величины магнитного поля обеспечивает почти нормальное падение электронов на фольги анализатора (что делает более корректным восстановление их функции распределения по энергии) и исключает образование на них плазмы (что подтверждается отсутствием преждевременного "обрезания" сигналов с фольг). Фольги анализатора остаются целыми в течение многих импульсов, в то время как все остальные фольги в системе сгорают за один импульс.

### Измерение энергетических спектров РЭП в диоде установки У1-СПИН

Для определения энергетического спектра исходного пучка, а также проверки работоспособности прибора были проведены эксперименты, в которых МФА устанавливался сразу за анодной фольгой диода. На рис. 2 приведены типичные осциллограммы напряжения на диоде  $U_d$ , тока пучка электронов  $I_b$ , падающих на коллектор анализатора, и токов электронов  $I_1 - I_9$ , поглощенных в фольгах анализатора. В течение импульса  $U_d$  спадает от величины  $\sim 1$  МВ до нуля, ток же пучка, наоборот, растет. Максимум тока на последней девятой фольге практически совпадает по времени с максимумом диодного напряжения. Пучок имеет характерную микроструктуру, что приводит к изрезанности токов, регистрируемых за малыми отверстиями. Однако наличие выбросов на сигналах позволяет хорошо синхронизовать токи  $I_1 - I_9$  с точностью  $\sim 50$  нс (один квант времени АЦП).

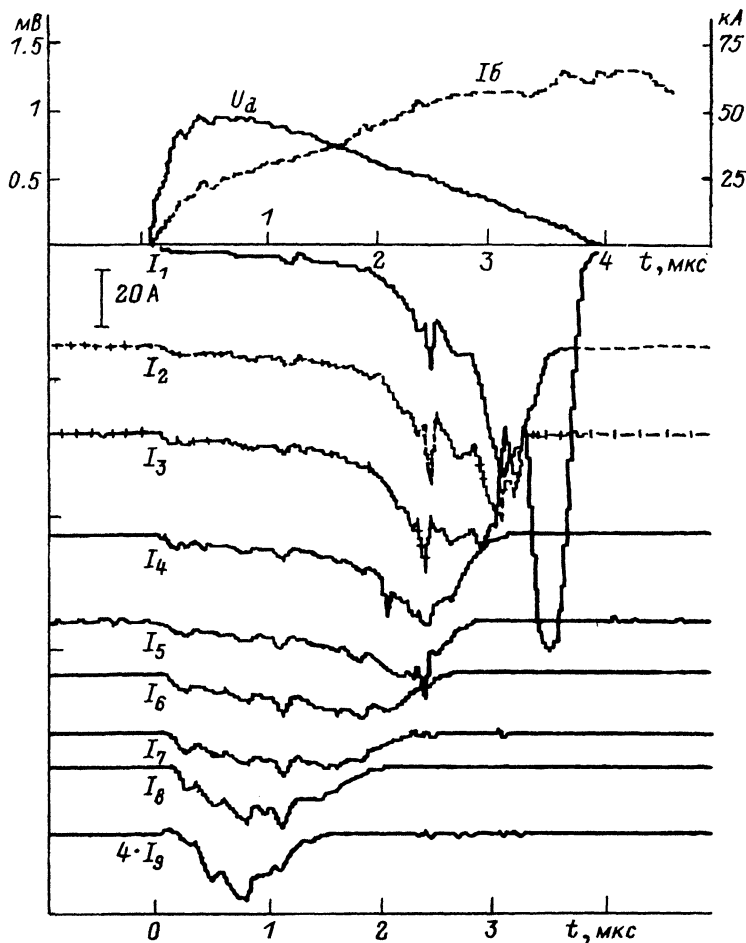


Рис. 2. Типичные осциллограммы напряжения на диоде  $U_d$ , тока пучка  $I_b$ , токов  $I_1-I_9$  электронов на фольги (МФА сразу за анодной фольгой).  
 $l_1-l_5 = 100$ ,  $l_6-l_7 = 150$ ,  $l_8 = 400$ ,  $l_9 = 900$  мкм.

Полная погрешность измерения токов с фольг в начале импульса ( $t \sim 1$  мкс) на относительно гладких участках токов (особенно на первых каналах) при малой их величине определяется в основном погрешностью отсчета амплитуды, а в середине импульса ( $t = 2-3$  мкс) в основном неточностью синхронизации. Так, полная погрешность измерения токов на отдельных каналах при  $U_d \sim 0.7$  МВ не превышает 10–15%.

По измеренному распределению токов можно восстановить энергетический спектр РЭП (эта процедура подробно описана в [10, 14–15]). Однако прежде рассмотрим влияние на точность измерений вторичных электронов, которые могут возникать при облучении фольг электронами пучка (более подробно о влиянии других факторов см. в [13]). Спектр вторичных электронов можно условно разделить на три части. Это низкоэнергетичные вторично-эмиссионные электроны, число которых уменьшается с ростом энергии ( $E_{cp} \sim 3$  эВ,  $E < 50$  эВ), малая доля электронов с

$E \sim 1-10$  кэВ, в области  $E \geq 100$  кэВ — отраженные первичные электроны. Средняя энергия последних  $E \sim 0.3E_0$  [16] ( $E_0$  — исходная энергия), угловое распределение изотропно. Рассмотрим, какие выводы о влиянии вторичных электронов следуют из эксперимента. В работе [9] показано, что из-за вторично-эмиссионных процессов величины тока электронов на фольги могут зависеть от качества поверхностей фольг и при одной и той же энергии электронов меняться на 20%. Результаты наших измерений с различными наборами фольг с хорошей точностью совпадают. Мы объясняем это тем, что провисание потенциала между фольгами и интересующих нас случаях ( $t \geq 1$  мкс) превышает разность потенциалов между фольгами на величину  $\sim 100$  В, что приводит к подавлению в основном низкоэнергетической части вторичных электронов.

Влияние же отраженных первичных электронов нужно специально учитывать. Дело в том, что число этих электронов достаточно велико ( $\sim 8\%$  при  $E = 1$  МэВ [16]). Эти электроны, отразившись от фольг анализатора и двигаясь по силовым линиям магнитного поля, снова отражаются от магнитной пробки вблизи коллектора анализатора и возвращаются обратно на фольги. Поскольку максимум спектра отраженных электронов лежит вблизи  $0.3E_0$ , то они поглощаются в первых токовых фольгах.

Учесть влияние отраженных электронов оказалось возможным путем введения поправки в функцию поглощения электронов. Предполагая, что РЭП моноэнергетичен, можно вычислить для него распределение токов в фольгах без учета отражения электронов от пробки и с учетом этого эффекта (расчетные гистограммы в обоих случаях лучше всего совпадают с результатами эксперимента при  $E_b = 0.92eU_d$ ). В первом случае максимальное различие экспериментального и расчетного токов составляет 33% (для первой фольги), во втором случае не превышает 8% (для всех фольг).

Перейдем теперь к непосредственному измерению спектра на выходе из диода. На рис. 3 приводятся спектры РЭП<sup>1</sup> при напряжении на диоде от 0.35 до 0.7 МВ в различные моменты времени одного выстрела (от 1.5 до 3 мкс). По мере снижения  $U_d$  глубина проникновения электронов в металл уменьшается. Для вычисления спектров были выбраны моменты времени, когда число каналов с ненулевыми сигналами отличаются на единицу. Все полученные спектры можно считать моноэнергетичными. Полуширина спектра, например, для  $U_a = 0.7$  МВ составляет  $\sim 0.02$  МэВ (мы ее определяем как интервал энергии  $dE$ , в котором содержится половина частиц). Средняя энергия электронов составляет примерно  $0.9eU_a$ . Несоответствие энергии электронов приложенному напряжению может объясняться неточностью калибровки  $U_d(\pm 5\%)$  и неточностью вычисления функции поглощения. Отметим, что в экспериментах на установке ИНАР в режимах с малыми потерями энергии пучка также наблюдался сдвиг между  $E_{cp}$  и  $U_d$  ( $\sim 10\%$ ) [11].

Для проверки чувствительности МФА к изменению спектра исходного пучка проводились эксперименты с толстыми фольгами на входе МФА (дополнительные фольги устанавливались непосредственно на экранирующую фольгу). На рис. 4 представлены экспериментальная гистограмма токов на фольги анализатора (сплошная линия) при  $U_d \sim 0.7$  МВ и

<sup>1</sup> Программа расчетов любезно предоставлена авторам А.В.Аржаниковым и С.Л.Синицким.

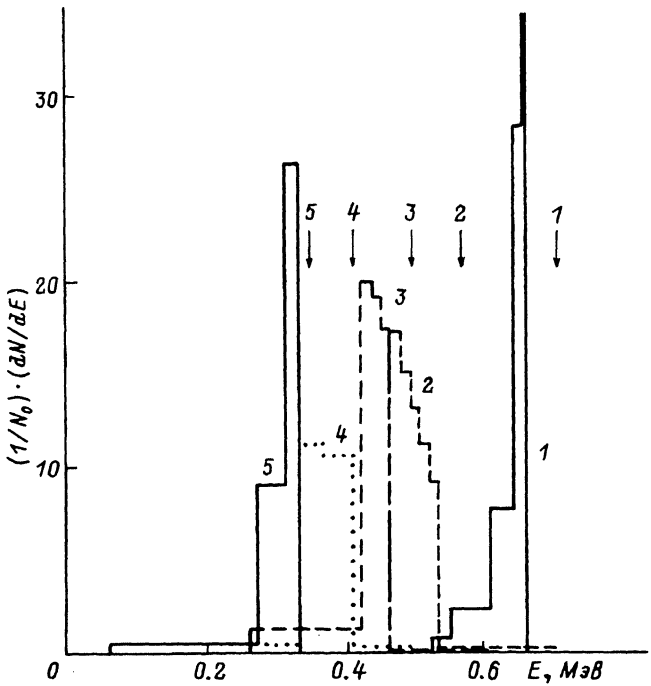


Рис. 3. Энергетические спектры электронов пучка для 5 моментов времени в одном выстреле (стрелками указаны значения  $E = eU_d$ ).

$t, \mu\text{s}: 1 — 1.65, 2 — 2.05, 3 — 2.3, 4 — 2.65, 5 — 2.9;$   
 $U_d, \text{ МВ: } 1 — 0.7, 2 — 0.56, 3 — 0.5, 4 — 0.4, 5 — 0.35.$

толщине экранирующей фольги  $l = 136 \text{ мкм}$  (на вставке соответствующий спектр, полуширина его составляет  $\sim 50 \text{ кэВ}$ ) и для сравнения гистограмма токов при  $l = 36 \text{ мкм}$  (электроны с энергией  $0.7 \text{ МэВ}$  после прохождения алюминиевой фольги толщиной  $100 \text{ мкм}$  теряют энергию  $\sim 0.04 \text{ МэВ}$  [17]). Видно, что потеря пучком  $\geq 5\%$  энергии приводит к сильному изменению формы гистограммы и может быть надежно зарегистрирована.

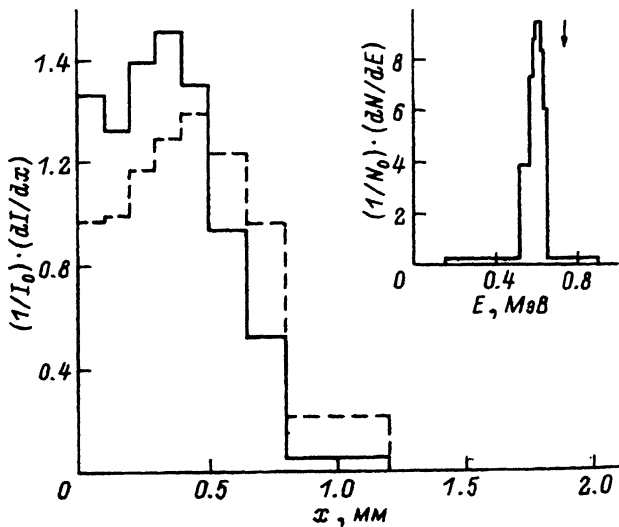


Рис. 4. Гистограмма токов (сплошная линия) при  $U_d \approx 0.7 \text{ МВ}$  и толщине экранирующей фольги  $136 \text{ мкм}$ , восстановленный по ней спектр РЭП (на вставке) и для сравнения гистограмма токов при том же напряжении с тонкой экранирующей фольгой.

Штриховая линия — экспериментальная гистограмма токов на фольги анализатора при  $U_d = 0.7 \text{ МВ}$  и толщине экранирующей фольги  $l = 36 \text{ мкм}$  (алюминий).

# Измерение энергетических спектров РЭП на выходе установки У1-СПИН

На рис. 5 приведена экспериментальная гистограмма токов (сплошная линия) после прохождения пучка в плотном газе (гелий,  $n_0 \sim 2 \cdot 10^{16} \text{ см}^{-3}$ ) при  $U_d = 0.72 \text{ МВ}$  ( $t = 2.65 \text{ мкс}$  от начала инъекции пучка). Температура плазмы составляет к концу импульса  $T \sim 3 \text{ эВ}$ . Спектр восстанавливается следующим образом. Сначала по экспериментальным значениям токов вычисляется спектр первичных электронов в дрейфовой камере анализатора (рис. 1) с учетом эффекта возврата отраженных электронов. Этот спектр и рассчитанное по нему распределение токов (штриховая линия) приведены на рис. 5,б. Отличие экспериментальных токов от расчетных  $\varepsilon_i = dI_i/I_i$  заметно меньше 10%, как и погрешность измерения токов. Далее необходимо учесть, что на пути к анализатору пучок проходит как через плазму в соленоиде, так и через набор фольг суммарной толщины  $l_{ex} = 78 \text{ мкм}$ , которые в основном сосредоточены в экспандере. Поэтому условно можно считать, что исходный спектр пучка сначала изменяется в соленоиде и затем, после прохождения фольг толщиной  $l_{ex}$ , приобретает вид, указанный на рис. 5,б (штриховая линия). Электроны с

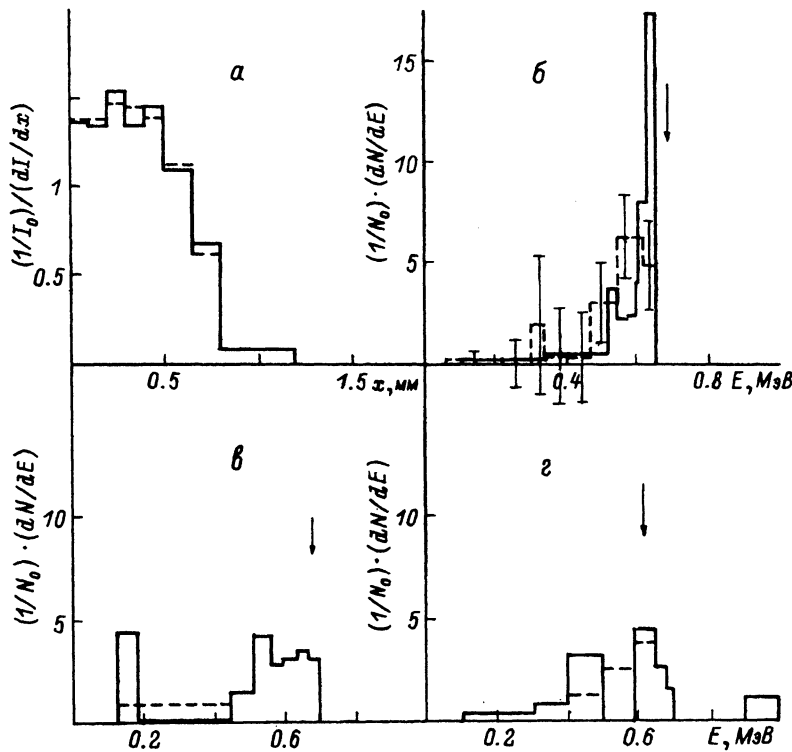


Рис. 5. Гистограммы токов (сплошная линия — эксперимент) и энергетические спектры (МФА на выходе соленоида).

$a, b — n_0 = 2 \cdot 10^{16} \text{ см}^{-3}, U_d = 0.72 \text{ МВ}, t = 2.65 \text{ мкс}, T = 3 \text{ эВ};$

$c — n_e = 1.5 \cdot 10^{15} \text{ см}^{-3}$  — предплазма,  $U_d = 0.67 \text{ МВ}, t = 2.35 \text{ мкс}, T \sim 150 \text{ эВ};$

$d — n_0 = 7 \cdot 10^{12} \text{ см}^{-3}, U_d = 0.66 \text{ МВ}, t = 2.5 \text{ мкс}, T > 100 \text{ эВ}.$

$E = 0.7$  МэВ теряют в фольге 78 мкм Al всего 32 кэВ, поэтому их спектр до фольги легко вычисляется (рис. 5,б, сплошная линия). Этот спектр и будет искомый спектр пучка, прошедшего через плазму в соленоиде (на втором этапе ошибки восстановления практически не возрастают).

Видно, что полученный в этом режиме спектр слабо отличается от спектра пучка на выходе из диода. Функция распределения электронов состоит из основного пика шириной  $dE \sim 0.05$  МэВ, а также низкоэнергетической части (8% частиц с  $E < 0.5$  МэВ). Средняя энергия электронов, вычисленная по всему спектру, составляет  $E_{cp} = 0.86 \cdot e \cdot U_d$ .

Рассмотрим теперь, какова точность восстановления деталей полученного спектра. Вычисление токов на фольги для спектра, в котором отсутствуют электроны с энергией  $E < 0.52$  МэВ, показывает, что при этом  $\varepsilon$ , еще не превышает 10%, что укладывается в ошибку измерений. Но такой спектр уже почти ничем не отличается от спектра в диоде. Отсюда можно сделать вывод о том, что при имеющейся точности измерений в этом случае нельзя однозначно судить о наличии в спектре низкоэнергетических электронов. Другими словами, при прохождении в плотном газе спектр электронов скорее всего не изменяется.

О точности восстановления спектра можно судить также по формально вычисляемой ошибке, которая показана на рис. 5,б для спектра в анализаторе (штриховая линия). Не следует считать, что значения функции распределения  $\varphi = dN/dE/N_0$  могут принимать произвольные значения в пределах усов во всех каналах (например, в дальних 7 и 8-м каналах — максимальные, а в 1–6 — минимальные), так как при этом сильно растет различие вычисленных и измеренных токов (до  $\varepsilon_i \leq 40\%$ ). В действительности, величина “усов” показывает, что если изменить значение функции в каком-либо одном канале (в пределах усов), то можно подобрать ее значения в других каналах такие, что  $\varepsilon_i$  все еще будут  $\leq 10\%$ . При этом изменения (такие, чтобы минимизировать внесенное возмущение) возникают в основном в каналах, соседствующих с тем, в который вносится возмущение.<sup>2</sup>

Теперь рассмотрим спектр РЭП, полученный при инжекции пучка в гелиевую предплазму (рис. 5,в). Спектр пучка значительно уширен по сравнению с инжекцией в плотный газ, относительное уширение спектра  $dE/E_0 = 0.2–0.3$  ( $E_0 \cong 0.9eU_d$ ). Кроме того, появилось заметное число частиц ( $\sim 30\%$ ) с энергией, существенно меньше исходной, которые могут быть как замедленными электронами пучка, так и ускоренными электронами плазмы. Варьируя ширину низкоэнергетического пика (рис. 5,в, штриховая линия) и вычисляя для таких спектров токи на фольги, можно сделать вывод, что ширина низкоэнергетического пика составляет около 150 кэВ (при этом  $\varepsilon_i < 10\%$ ). Средняя по спектру энергия электронов составляет  $E_{cp} = 0.7eU_d$ , т.е. мгновенные потери энергии 19% (по сравнению с режимом прохождения в плотном газе).

Результаты измерения спектра РЭП после его прохождения через газ низкой плотности показаны на рис. 5,г. Энергетический спектр пучка в целом в этом случае оказывается еще более размытым, чем в случае ин-

<sup>2</sup> Отметим, что при вычислении функции  $\varphi$  формально допускается существование ее отрицательных значений. Если ограничиться только решением  $\varphi_i > 0$ , то диапазон допустимых изменений  $\varphi_i$  и соответственно величина усов  $d\varphi_i$  могут быть заметно снижены. Однако этот вопрос требует дополнительного анализа.

жекции пучка в предплазму. В нем можно условно выделить три пика при энергиях около 1, 0,6, 0,45 МэВ. Искусственное слияние двух последних пиков (штриховая линия) приводит к росту  $\epsilon_6$  до 25% (для сплошного спектра  $\epsilon_i < 8\%$ ). Отсюда следует, что, по-видимому, в диапазоне  $E_0 = 0.4\text{--}0.7$  МэВ функция распределения действительно имеет два пика.

В пике с  $E_0 \cong 1$  МэВ содержится заметное число частиц ( $\sim 10\%$ ) с энергией, существенно превышающей энергию электронов исходного пучка. Появление высокозэнергетических частиц, возможно, связано с какими-то механизмами ускорения электронов пучка в плазме (что также отмечалось в [11]). Количество и энергию ускоренных частиц в последнем случае можно также оценить с помощью следующих рассуждений. На рис. 6 приведена зависимость ослабления тока электронов алюминиевой фольгой толщиной  $l = 1310$  мкм  $\chi(E_0) = I_9/I_0$  от исходной энергии  $E_0$  (как следует из измерений в диоде,  $E_0 = 0.9eU_d$ ). Видно, что зависимость, измеренная в диоде и в плотном газе, с хорошей точностью совпадает с расчетной. Отсюда мы получаем калибровку  $\chi(E_0)$  для моноэнергетического пучка (см. соответствие горизонтальных шкал  $E_0$  и  $\chi$ ). В случае прохождения пучка в "вакууме" точки лежат значительно выше, причем при  $E_0 \leq 0.7$  МэВ отличие составляет несколько порядков. Предположим, что в последнем случае функция распределения состоит из двух не очень сильно размазанных по энергии групп электронов, первая из которых лежит вблизи  $E_0$  (и доля частиц в ней  $1 - \eta \sim 1$ ), а вторая имеет энергию  $E = E_{\text{уск}} > E_0$  ( $\eta \ll 1$ , где  $\eta$  — доля быстрых частиц). Тогда можно записать  $I_9/I_0 = (1 - \eta) \cdot \chi(E_0) + \eta \cdot \chi(E_{\text{уск}})$ , т.е. вкладом первой группы в сигнал  $I_9$  можно пренебречь. Варьируя  $\eta$  при фиксированных значениях  $I_9/I_0$ , можно получать разные значения  $\chi(E_{\text{уск}})$  и находить величину  $E_{\text{уск}}$ . Например, при  $\eta \sim 0.1$  (и  $E_0 < 0.7$  МэВ) энергия  $E_{\text{уск}} \cong 2 \cdot E_0$ . Доля энергии в ускоренных электронах в этом случае  $\sim 20\%$ . Подчеркнем еще раз, что описанный эффект наблюдается при конкретном значении плотности исходного газа ( $n_0 \sim 10^{13}$  см $^{-3}$ ), на оси пучка ( $dR/R_b \sim 0.05$ ) и в ограниченном отрезке времени ( $dt \cong 1$  мкс,  $dE \cong 0.15$  МэВ).

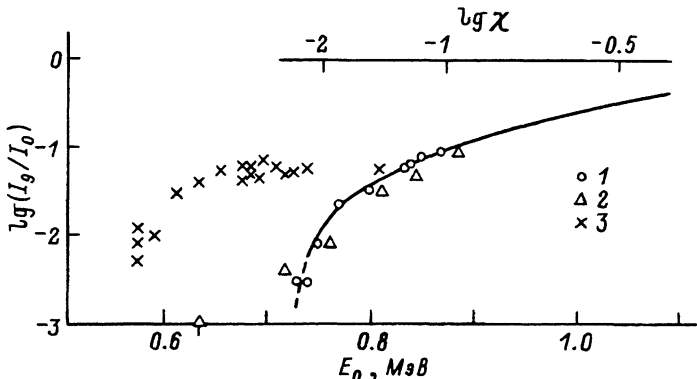


Рис. 6. Зависимость ослабления тока электронов Al фольгой толщиной  $l = 1310$  мкм от исходной энергии  $E_0$ .

Сплошная линия — расчет; эксперимент: 1 — измерения в диоде; 2,3 — на выходе соленоида при  $n_0 = 2 \cdot 10^{16}$  и  $7 \cdot 10^{12}$  см $^{-3}$  соответственно.

## Заключение

Таким образом, измерение энергетического спектра 100-килоджоульного микросекундного РЭП с энергией электронов до 1 МэВ на установке У1-СПИН показало, что по крайней мере в течение большей части импульса (при  $U_d > 0.3$  МэВ) пучок генерируется практически моноэнергетичным. При транспортировке через метровый соленоид в плотном газе ( $n_0 \sim 10^{16} \text{ см}^{-3}$ ) спектр пучка почти не изменяется. В то же время при плотности плазмы  $\leq 10^{15} \text{ см}^{-3}$  наблюдаются заметные (до 20%) потери энергии пучка. При низком давлении газа ( $n_0 \sim 10^{13} \text{ см}^{-3}$ ) появляется заметное количество ускоренных электронов ( $\sim 10\%$ ) с энергией  $E \geq 1.5 - 2 \cdot E_0$ .

Авторы благодарят А.В.Аржанникова и С.Л.Синицкого за полезные обсуждения и помощь в проведении расчетов, В.С.Койдана и Д.Д.Рютова за поддержку работы.

## Список литературы

- [1] Рютов Д.Д. // ВАНТ. Сер. Термоядерный синтез. 1978. № 1–2. С. 96–112.
- [2] Burdakov A.V., Kapitonov V.A., Koidan V.S. et al. // Intern. Conf. on Plasma Physics. New Delhi (India), 1989. P. 969–976.
- [3] Arzhannikov V.A., Burdakov A.V., Chikunov V.V. et al. // Proc. of 8<sup>th</sup> Intern. Conf. on High Power Particle Beams. Novosibirsk, 1990. Vol. 1. P. 14–25.
- [4] Chikunov V.V., Knyazev V.A., Melnikov P.I. // Proc. of 13<sup>th</sup> Intern. Symp. on Discharges and Electrical Insulation in Vacuum. Paris, 1988. Vol. 2. P. 436–438.
- [5] Киязев Б.А., Мельников П.И., Чикунов В.В. // Физика плазмы. 1990. Т. 16. № 12. С. 1447–1456.
- [6] Chikunov V.V., Knyazev V.A., Melnikov P.I., Nikiforov A.A. // Proc. of 8<sup>th</sup> Intern. Conf. on High Power Particle Beams. Novosibirsk, 1990. Vol. 1. P. 241–249.
- [7] Абрашитов Ю.И., Койдан В.С., Конюхов В.В. и др. // ЖЭТФ. 1974. Т. 66. Вып. 4. С. 1324–1337.
- [8] Дергобузов К.А., Евдокимов О.Б., Кононов Б.А., Ягушкин М.И. // ПТЭ. 1975. № 1. С. 29–30.
- [9] Frederikson A.R., Woolf S. // IEEE. 1981. P. 4186–4191.
- [10] Аржанников А.В., Астредин В.Т. // ПМТФ. 1979. № 6. С. 4–11.
- [11] Arzhannikov A.V., Burdakov A.V., Burmasov V.S. et al. // Proc. of Intern. Conf. on Plasma Physics. Nagoya (Japan): Contributed Papers, 1980. Vol. 1. P. 74–75.
- [12] Архипов О.В., Бобылева Л.В., Бруданин В.В. и др. Сообщения ОИ ЯИ. № Р9-90-162. Дубна, 1990. 12 с.
- [13] Киязев Б.А., Мельников П.И., Никифоров А.А., Чикунов В.В. Препринт ИЯФ СО АН СССР. № 91-66. Новосибирск, 1990. 37 с.
- [14] Турчин В.Ф., Козлов В.П., Малкевич М.С. // УФН. 1970. Т. 102. С. 345–386.
- [15] Яловец А.П. // Изв. вузов. Физика. 1979. № 9. С. 67–74.
- [16] Акерман А.Ф., Никитушев Ю.М., Ботвин В.А. Решение методом Монте-Карло задач переноса быстрых электронов в веществе. Алма-Ата: Наука, 1972. 163 с.
- [17] Доклад 37 МКРЕ. Тормозная способность электронов и позитронов / Под ред. И.Б.Кеирим-Меркус. М.: Энергоатомиздат, 1987. 327 с.

Институт ядерной физики  
Новосибирск  
Новосибирский университет

Поступило в Редакцию  
14 мая 1992 г.  
В окончательной редакции  
28 января 1993 г.